

Stampa: Auto stürzt in Bachdurchlass

10.10.2025

Am Donnerstag (9.10.25) sind bei einem Verkehrsunfall in Stampa drei Personen verletzt worden. Der Selbstunfall ist auf einen Sekundenschlaf zurückzuführen.

Ein 26-Jähriger fuhr um 16.20 Uhr in Begleitung seiner Lebensgefährtin und eines Kleinkinds mit seinem Personenwagen auf der Malojastrasse vom Oberengadin talwärts in Richtung Castasegna. In Stampa schief er ein, das Auto kam rechts von der Strasse auf eine Wiese und stürzte rund drei Meter in einen Bachdurchlass hinunter. Ein Linienbusfahrer konnte den Verkehrsunfall beobachten und leistete mit hinzugekommenen Drittpersonen Erste Hilfe. Ein Team des Rettungsdienstes Spino, begleitet durch einen Notarzt, sowie eine Rega-Crew versorgten die italienische Familie und transportierten sie ins Spital nach Samedan. Glücklicherweise wurden dort keine gravierenden Verletzungen festgestellt, sodass die drei das Spital am selben Abend verlassen konnten. Die Arbeiten auf der Unfallstelle wurden unterstützt durch Mitarbeitende des Tiefbauamts Graubünden und des Amtes für Jagd und Fischerei.



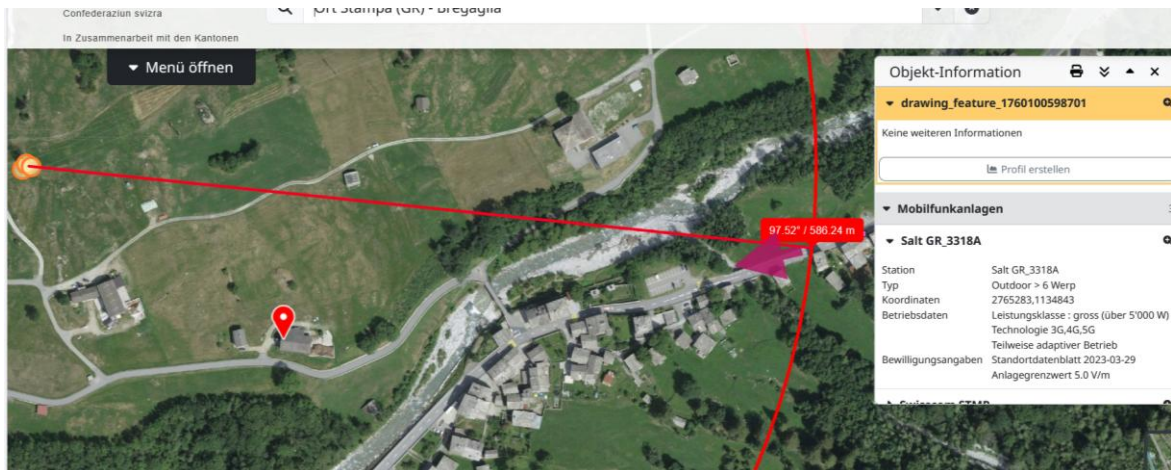
<https://www.gr.ch/DE/institutionen/verwaltung/djsg/kapo/aktuelles/medien/2025/Seiten/202510102.aspx>

Elektrosmog im Unfallablauf

Die Fahrt seit dem Pass verläuft bis zur leichten Rechtskurve ohne Probleme. Hier gerät das Fahrzeug auf seiner ganzen Breite neben die Strasse und stürzt in den Bachlauf



Der intensivste Sendereinfluss ist nach der Kurve am Ende der nördlichen Bebauung.



Ort Stampa (GR) - Bregaglia





Hier die Sender im Doppelmast



Die 2 Sender befinden sich auf gleicher Höhe im HS Mast bei Coltura.

Salt hat hier adaptiv auf den Verkehr fokussierende Sender. Das Postauto als adressiertes Ziel befindet sich in unmittelbarer Nähe:

15:51 ● **Maloja, Posta**
 ● **B 604**
 Richtung Chiavenna, Stazione
 ● **NF** ^R
 16:21 ● **Stampa, Palù**

Standortdatenblatt angefragt:

Adresse: Bregaglia - 1350x020 / M 20

220 kV - Ltg. Castasegna - Lòbbia

PLZ, Ort: 7602 Bregaglia

Koordinaten: 2765286 / 1134847 / 1041.19

Zusatzblatt 1: Angaben zur Antennengruppe 1

Beschreibung der Antennengruppe:

Anzahl Masten: 4

Nr. der Antenne	2STJKE / 2STDSUO / 2STX	1STJKE / 1STDSUO / 1STX	2SC0709 / 2SC1426 / 2SC3636	1SC0709 / 1SC1426 / 1SC3636						
Netzbetreiber	Salt	Salt	Swisscom	Swisscom						
ERP: Sendeleistung (in W)	5650	10880	5650	10880						
Hauptstrahlrichtung: Azimut (in Grad von N)	230°	80°	250°	80°						

In eine Richtung kumulierte Sendeleistung

Höchstbelastete Senderichtung: Azimut (in Grad von N)	
ERP _{90°} : kumulierte Sendeleistung in diese Richtung	

In einen Sektor kumulierte Sendeleistung

Höchstbelasteter 90°-Sektor: Azimut (in Grad von N)	von 35° bis 125°
ERP _{90°} : kumulierte Sendeleistung in diesen Sektor	21760 W

Zusatzblatt 2: Technische Angaben zu den Sendeantennen für Mobilfunk und drahtlose Teilnehmeranschlüsse

Höhenkote 0: 1041.19

Laufnummer n	1	2	3	4	5	6	7	8	9	10
Nr. der Antenne	1STJKE	2STJKE	1STDSUO	2STDSUO	1STX	2STX	1SC0709	2SC0709	1SC1426	2SC1426
Frequenzband (in MHz)	700 - 900	700 - 900	1400 - 2600	1400 - 2600	3400	3400	700 - 900	700 - 900	1400 - 2600	1400 - 2600
Netzbetreiber	Salt	Salt	Salt	Salt	Salt	Salt	Swisscom	Swisscom	Swisscom	Swisscom
Typenbezeichnung der Antenne	AAU5831_L A	AAU5831_L A	AAU5831_H G	AAU5831_H G	AAU5831_3 400	AAU5831_3 400	A114521R1v 06_070809	A114521R1v 06_070809	A114521R1v 06_1418212 6	A114521R1v 06_1418212 6
Adaptiver Betrieb mit K _{AA} < 1	Nein	Nein	Nein	Nein	Ja	Ja	Nein	Nein	Nein	Nein
Anzahl Sub-Arrays	-	-	-	-	16	16	-	-	-	-
Distanz (x/y) zum Koordinaten-Nullpunkt (in m)	3.14 / -1.23	-2.35 / -3.46	3.14 / -1.23	-2.35 / -3.46	3.14 / -1.23	-2.35 / -3.46	3.33 / -2.48	-2.56 / -2.20	3.33 / -2.48	-2.56 / -2.20
Höhe der Antenne (z) über Höhenkote 0 (in m)	13.00	13.00	13.00	13.00	13.00	13.00	13.00	13.00	13.00	13.00
ERP _n : Sendeleistung (in W)	2080	1200	5600	3450	3200	1000	2080	1200	5600	3450

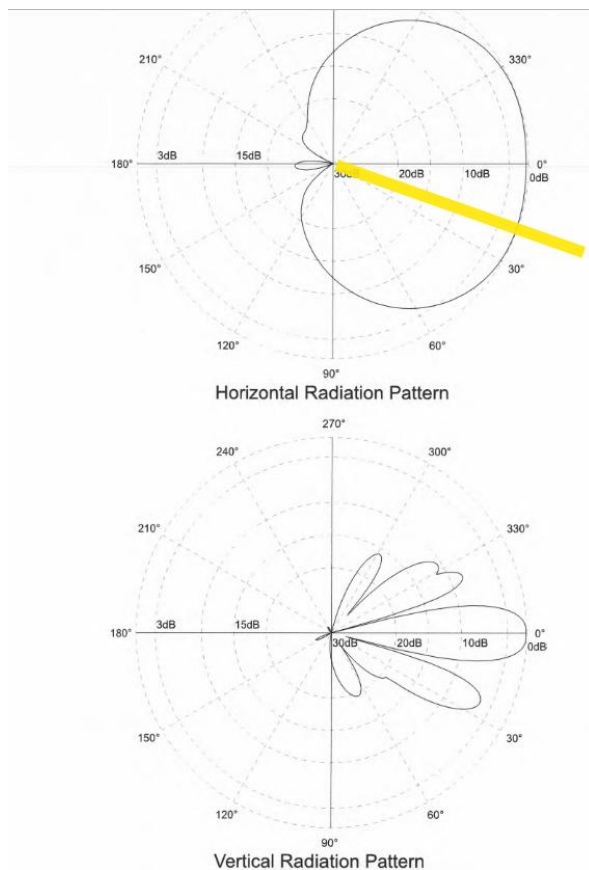
Hauptstrahlrichtung

Azimut (in Grad von N)	80°	230°	80°	230°	80°	230°	80°	250°	80°	250°
Mechanischer Neigungswinkel (down tilt, in Grad von der Horizontalen)	0°	0°	0°	0°	0°	0°	2°	0°	2°	0°
Elektrischer Neigungswinkel (down tilt, in Grad)	-2° - -12°	-2° - -7°	-2° - -12°	-2° - -5°	-2° - -12°	-2° - -5°	0° - -14°	0° - -7°	-2° - -12°	-2° - -5°
Gesamter Neigungswinkel (down tilt, in Grad von der Horizontalen)	-2° - -12°	-2° - -7°	-2° - -12°	-2° - -5°	-2° - -12°	-2° - -5°	2° - -12°	0° - -7°	0° - -10°	-2° - -5°

Relevant für die Ermittlung des Einspracheperimeters sind die Antennen im Sektor von 35° bis 125°

ERP_{Sektor}: Summierte Sendeleistung der Antennen in diesem Sektor: 21760 W

Die Sendeleistung der verwendeten adaptiven Antenne Huawei AAU5831 ist in einem Bereich von 2x 30° um die Hauptstrahlrichtung maximal.



Das Areal am Dorfausgang, wo der Sekundenschlaf seinen Ausgang genommen hat, wird somit maximal bestrahlt.

Wetter zum Unfallzeitpunkt gemäss Bild trocken.

Strahlung ungedämpft

Zum Verständnis der Abläufe bei solchen Unfällen:

Niels Kuster et al. **NFP 57**: http://www.snf.ch/SiteCollectionDocuments/nfp/nfp57/nfp57_synthese_d.pdf
[Mobilfunk bewirkt Veränderungen der Hirnströme](http://www.snf.ch/SiteCollectionDocuments/nfp/nfp57/nfp57_synthese_d.pdf)

Einwirkungen von Strahlung auf Prozesse im Gehirn: <https://www.diagnose-funk.org/aktuelles/artikel-archiv/detail?newsid=2257>

M. Mevissen / D. Schürmann: Manmade Electromagnetic Fields and Oxidative Stress—Biological Effects and Consequences for Health. <https://www.mdpi.com/1422-0067/22/7/3772>

«Der unklare Unfall in der Verkehrsmedizin» (AGU-Seminar 2015) Dr. Ulfert Grimm Fachbereich Verkehrsmedizin Institut für Rechtsmedizin St.Gallen <http://aqu.ch/1.0/pdf/aqu-seminar15.pdf>

«Wirkungen des Mobil- und Kommunikationsfunks» Eine Schriftenreihe der Kompetenzinitiative zum Schutz von Mensch, Umwelt und Demokratie e.V.

<https://www.diagnose-funk.org/publikationen/dokumente-downloads/kompetenzinitiative-broschuerenreihe>

Wirkungen von Elektromog auf Verkehrsunfälle: <https://www.hansuelistettler.ch/elektromog/elektromog-im-verkehr/studie>

Keine Messung von Sendeleistungen 5G: <https://www.gigaherz.ch/5g-alarmierende-resultate-erster-testmessungen/>

Funktionsweise von 5G-Antennen: "Understanding Massive MIMO in roughly 2 minutes": <https://www.youtube.com/watch?v=XBb481RNqGw>

Visualisierung der 5G-spezifischen Reflexionen, von Ericsson: <https://www.youtube.com/watch?v=yTbUSXJ8M-8>

5G-Adaptiv reagiert auf Kollektiv-Verkehrsmittel: https://www.youtube.com/watch?v=pTKa_cEGvJA
 Bellinzona: <https://www.youtube.com/watch?v=ekCtC7vJ7Ew>

Zum Thema Herzrhythmus hat Prof. Magda Havas, Trent University, publiziert:

<https://magdahavas.com/electrosmog-exposure/home-environment/new-study-radiation-from-cordless-phone-base-station-affects-the-heart/>

Zusammenfassung im emf-portal: <https://www.emf-portal.org/de/article/18905>

Forschungsstand zu wlan: <https://www.diagnose-funk.org/aktuelles/artikel-archiv/detail&newsid=1943>

Magnetfelder unter Hochspannungsleitungen: <https://www.bfs.de/SharedDocs/Videos/BFS/DE/emf-stromleitung.html>

Erklärende Videos auf youtube: <https://www.youtube.com/channel/UC86uloS8IoowSGOGfpMyrsg>

Hansueli Stettler.Bauökologie.Funkmesstechnik.Lindenstrasse 132.9016 St.Gallen.www.hansuelistettler.ch.info@hansuelistettler.ch